

# اثر جنسینگ بر بافت بیضه موش صحرایی نابالغ پس از جراحی اور کیدوپکسی

سید اسماعیل صفوی<sup>۱\*</sup>، غفور موسوی<sup>۲</sup>

داخل حفره شکم باقیمانده یا قسمتی از آن وارد حلقه مغابنی عمقی گردد و یا داخل کانال مغابنی جایگزین شود. شایعترین حالت کریپتورکیدیسم واقع شدن بیضه‌ها در کانال مغابنی می‌باشد (۱۲). کریپتورکیدیسم در سگ، اسب و خوک نسبت به سایر پستانداران از شیوع بیشتری برخوردار است (۱۳). شیوع کریپتورکیدیسم در سگ‌های نر بالا بوده و تا حدود ۱۰٪ ممکن است برسد. میزان شیوع این عارضه در سگ در نژادهای نژادها بالاتر است (۱۴). میزان شیوع کریپتورکیدیسم در انسان ۲-۶ درصد در زمان تولد می‌باشد که میزان آن پس از سه ماه به ۱-۵ درصد کاهش می‌یابد. در حدود ۳۰٪ نوزادان پسر نابالغ هنگام تولد حداقل یک بیضه کریپتورکید دارند. متعاقب جراحی اصلاح کریپتورکیدیسم که به نام جراحی اورکیدوپکسی موسوم است اثرات سوء کریپتورکیدیسم بر بافت بیضه به مرور ترمیم می‌گردد. بدیهی است میزان آسیب‌های وارد به بافت بیضه در کریپتورکیدیسم و ترمیم آن به دنبال اورکیدوپکسی به طول دوره کریپتورکیدیسم بستگی دارد (۱۲).

جنسینگ گیاهی دارویی است که قرن‌ها به عنوان ضداسترس، افزاینده قوای جنسی و ... استفاده می‌شود و همچنین یکی از قدیمی‌ترین و شناخته شده ترین گیاهان دارویی است که از اختلالات جنسی پیشگیری می‌کند و دارای چندین خواص دارویی و آنتی اکسیدانی و حفاظتی از ارگان‌ها در برابر رادیکال آزاد و استرس‌های محیطی را دارا می‌باشد (۸). جنسینگ Panax خانواده عشقه (Araliaceae) بوده که با نام علمی ginseng شناخته می‌شود. از نظر ترکیبات شیمیابی برای اینکه

## چکیده

کریپتورکیدیسم در نیجه اختلال در نزول بیضه به داخل اسکروتوم حاصل می‌شود. متعاقب اصلاح جراحی کریپتورکیدیسم (اورکیدوپکسی)، بهبود تدریجی آسیب‌های بافت بیضه مشاهده می‌شود. هدف از این تحقیق ارزیابی بافت‌شناسی تاثیر جنسینگ بر بیضه پس از اورکیدوپکسی در موش صحرایی می‌باشد. تعداد ۴۰ سر موش صحرایی نژاد ویستار (۹۰-۱۲۰ گرمی و ۲۸ روزه) به صورت تصادفی در ۴ گروه ۱۰ تا ۳۰ نیازد. در گروه اول پس از اورکیدوپکسی به مدت ۳۰ روز سالین نرمال به تقسیم شدند. در گروه دوم پس از جراحی اورکیدوپکسی، جنسینگ صورت خوارکی استفاده شد. در گروه سوم به عنوان گروه شم، پس از برش، بیضه‌ها از داخل اسکروتوم به مدت ۳۰ روز روزانه با دوز ۵۰۰ میلی گرم بر کیلوگرم به صورت خوارکی استفاده گردید. در گروه سوم به عنوان گروه شم، پس از برش، بیضه‌ها از داخل اسکروتوم به داخل حفره شکم جا به جا شده و به اسکروتوم بازگردانه شدند و به مدت ۳۰ روز سالین نرمال استفاده شد. در گروه چهارم به عنوان گروه شاهد سالم هیچ مداخله‌ای صورت نگرفت. در پایان دوره، نمونه‌های بافت بیضه جهت مطالعات مورفولوژی و هیستومورفومتری اخذ گردید. نتایج به روش آماری آنالیز واریانس یک طرفه ANOVA و تست توکی Tukey تحلیل گردید و  $P < 0.05$  به عنوان سطح معنی‌داری در نظر گرفته شد. نتایج نشان داد که جنسینگ، مراحل بهبود صدمات بافت بیضه را پس از اورکیدوپکسی تسريع می‌کند بطوری که قطر لوله‌های سینیفر و ضخامت اپسی‌تیلوم لوله‌ها افزایش یافته و ضرایب اسپر ماتورژن به طور معنی‌داری افزایش می‌یابد ( $P < 0.05$ ).

واژگان کلیدی: جنسینگ، بیضه، کریپتورکیدیسم، اورکیدوپکسی، موش صحرایی

تاریخ دریافت: ۹۵/۷/۱۶ تاریخ پذیرش: ۹۵/۷/۲۶

## مقدمه

کریپتورکیدیسم یا نهان بیضگی به دنبال نقص در پایین آمدن یک یا هر دو بیضه به داخل کیسه اسکروتوم در زمان تولد حاصل می‌شود. کریپتورکیدیسم برای اولین بار توسط Hunter در سال ۱۷۸۶ توصیف شد و اولین جراحی اصلاح کریپتورکیدیسم توسط rosenmerkal در سال ۱۸۲۰ صورت گرفت (۱۲). در کریپتورکیدیسم بیضه و ابی دیدیم ممکن است

\*- گروه علمی پایه، واحد تبریز، دانشگاه آزاد اسلامی، تبریز، ایران esmaeil.safavi@iaut.ac.ir

- ۲- گروه علم دارمانگاهی، واحد تبریز، دانشگاه آزاد اسلامی، تبریز، ایران

جراحی اورکیدوپکسی به مدت ۳۰ روز سالین نرمال به صورت خوراکی دریافت کردند. گروه دوم (تیمار ۲) پس از جراحی اورکیدوپکسی، جنسینگ به مدت ۳۰ روز روزانه با دوز ۵۰۰ میلی گرم به ازای هر کیلوگرم به صورت خوراکی از طریق گاواز دریافت کردند (۸). در گروه سوم به عنوان گروه شم، محوطه بطنی باز و بیضه به داخل شکم کشیده شده و دوباره به اسکروتووم بازگردانده شد و در طول مدت آزمایش، حیوانات سالین نرمال دریافت کردند. در گروه چهارم به عنوان گروه نرمال یا گروه شاهد هیچ مداخله‌ای صورت نگرفت.

#### روش ایجاد کریپتورکیدیسم تجربی

برای انجام جراحی موش‌ها با تزریق داخل صفاقی کتابخانه هیدروکلراید (۱۰۰ mg/kg) و زایلازین (۲۰ mg/kg) بیهوش شدند. پس از آماده سازی معمول جراحی با ایجاد برش طولی خط میانی شکم، بیضه‌ها از داخل کیسه بیضه به داخل محوطه بطنی کشیده شد و با استفاده از نخ بخیه شماره ۳-۰ نایلون، انتهای دمی بیضه به دیواره عضلانی محوطه بطنی بخیه زده شد و بدین ترتیب بیضه‌ها در داخل محوطه بطنی ثابت گردیدند. برای جلوگیری از بازگشت بیضه‌ها به داخل کیسه بیضه گوبرناکولوم قطع گردید. عضلات شکم با استفاده از نخ بخیه ویکریل ۳-۰ و پوست نیز با استفاده از نخ بخیه سیلک ۳-۰ بخیه زده شد (۱۳).

#### اصلاح کریپتورکیدیسم (اورکیدوپکسی)

۳۵ روز پس از ایجاد کریپتورکیدیسم تجربی، جراحی اورکیدوپکسی صورت گرفت. پس از بیهوش کردن موش‌ها و ایجاد برش طولی در دیواره خط میانی شکم، بیضه‌ها از دیواره محوطه بطنی جدا شده، سپس به داخل کیسه اسکروتووم باز گردانده و در داخل کیسه اسکروتووم ثابت شدند (۱۲). پس از اتمام دوره آزمایش حیوانات آسان کشی شده و نمونه سرم خون جهت اندازه گیری تستوسترون جدا گردید. بیضه‌ها با ترازوی دیجیتال با حساسیت یک هزارم گرم توزین شده و جهت تهیه مقاطع بافتی به فرمالین ۱۰٪ متقل شدند. پس از

به اسرار خواص شفابخش این ریشه پی برده شود، مطالعات وسیعی صورت گرفته است و آنچه که تا به حال گزارش شده است این است که این گیاه دارای گلوکوزیدهای استروئیدی به نام پاناکیلون، یک ساپونین به نام پاناکسوزید یا پاناکسین، مواد صابونی، یک اساس روغنی فرار به نام پاناسین و یک هورمون و ویتامین B و ویتامین D، ترکیبات استیلنی، استرول‌ها و سرانجام یک گلوکوزید به نام جینسینوزايد می‌باشد (۹). این دارو توئینک، محرک، بازساز و مقوی است. مرکز سیستم اعصاب و تنفس را تحریک می‌کند و این اثر دارو مربوط به وجود دو گلوکوزید به نام‌های پانوکسید A و پانوکسید B آن جدای شده‌اند. جنسینگ حاوی ترکیبات فنلی، پلی استیلن، آکالولئید‌ها و پلی ساکاریدها می‌باشد (۳). در مطالعه حاضر با توجه به نقش دستگاه تناسلی در سلامت حیوان و تزايد نسل، اثرات جنسینگ بر تغییرات ساختار بافت بیضه در موش صحرایی متعاقب جراحی اصلاح کریپتورکیدیسم تجربی مورد بررسی قرار گرفت.

#### مواد و روش کار

این مطالعه تجربی آزمایشگاهی روی ۴۰ سر موش صحرایی نبالغ نژاد ویستار با سن ۴ هفته و وزن ۹۰-۱۲۰ گرم انجام شد. شرایط تغذیه و نگهداری برای تمام گروه‌ها یکسان و به صورت ۱۲ ساعت روشناهی/تاریکی و دمای  $21 \pm 2$  درجه سانتیگراد بود. تغذیه موش‌ها با استفاده از پلت آماده مخصوص حیوانات آزمایشگاهی صورت گرفته و آب نیز به طور آزاد در اختیار حیوانات قرار گرفت. شیوه‌نامه این مطالعه مطابق اصول اخلاقی مورد تأیید کمیته‌های بین‌المللی حمایت از حقوق حیوانات آزمایشگاهی طراحی شده است. موش‌ها به صورت تصادفی به ۴ گروه تقسیم شدند. در گروه اول و دوم ابتدا به روش جراحی، کریپتورکیدیسم تجربی دو طرفه ایجاد شده و پس از ۳۵ روز جراحی اصلاح کریپتورکیدیسم (تحت عنوان جراحی اورکیدوپکسی) صورت گرفت. گروه اول (تیمار ۱) پس از

اسپرم محاسبه گردید و در ۲۰۰ مقطع لوله منی ساز شمارش گردید (۲۴ و ۱۸).

#### ارزیابی میزان تستوسترون خون

جهت اندازه گیری میزان تستوسترون خون، ۲ میلی لیتر خون تنه جمع آوری شده، پس از سانتریفوژ با سرعت ۲۵۰۰ دور در دقیقه سرم خون جدا گردید. میزان تستوسترون خون به روش رادیوایمunoassay (Radioimmunoassay) (Immunotech, Marseil, France) اندازه گیری شد.

#### ارزیابی آماری دادهها

دادههای به دست آمده به صورت  $\text{mean} \pm \text{SEM}$  بیان شده و برای تجزیه و تحلیل دادهها از روش آماری آنالیز واریانس یک طرفه ANOVA و به دنبال آن تستهای مقایسه‌ای دانکن برای مقایسه وجود اختلاف بین گروه‌ها استفاده گردید. مقدار  $P < 0.05$  برای تعیین سطح معنی دار بودن بین گروه‌ها در نظر گرفته شد.

## نتایج

### بافت‌های مورفولوژیک بافت بیضه

در بررسی مقایسه‌ای بافت بیضه بین گروه شاهد و گروه شم تفاوت مشخصی دیده نشد. مطالعه میکروسکوپی بیضه در این دو گروه مشخص نمود که یک کپسول همبندی ضخیمی از جنس بافت همبند متراکم به نام سپید پرده یا توئیکا آبوزینا بیضه را احاطه کرده، که علاوه بر بافت همبند، رگ‌های خونی فراوانی در این بافت دیده می‌شود. در قسمت خارجی این کپسول لایه‌ی احتشایی توئیکا واژینالیس با یک لایه‌ی سلول‌های سنتگرفسی ساده قابل تشخیص است. از این کپسول تیغه یا ترابکول‌هایی به سمت پارانشیم بیضه کشیده شده و بافت بیضه را به لبول‌هایی تقسیم کرده بودند. در پارانشیم بافت بیضه بافت بیانیینی مقاطع عروق خونی به صورت مویرگ‌ها و وریدچه‌ها و در پیرامون این عروق سلول‌های اندوکرینی بیانیینی با سیتوپلاسم اسیدوفیلی و هسته‌های روشن به صورت

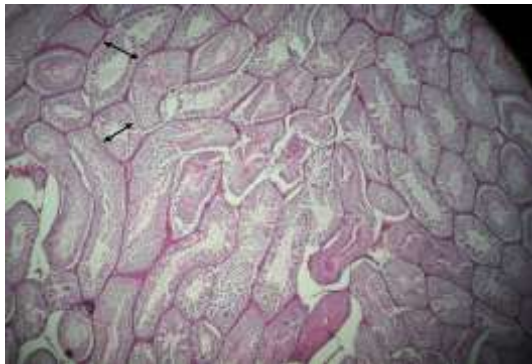
تهیه مقاطع بافتی و رنگ آمیزی هماتوکسیلین - اوزین، بیضه‌ها مورد مطالعه قرار گرفتند.

#### ارزیابی هیستومورفومتری بافت بیضه

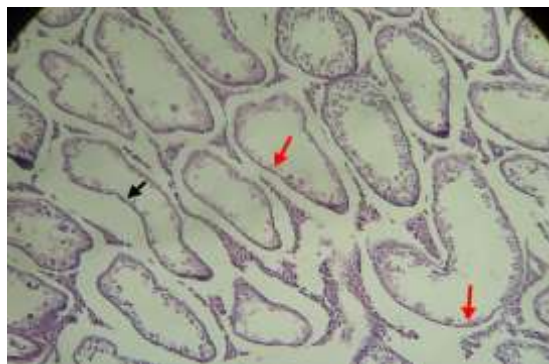
برای بررسی هیستومورفومتری بیضه، از عدسی چشمی مدرج x ۱۰ مدل Nikon استفاده شد. در مطالعه مورفومتریک بافت بیضه، فاکتورهایی نظیر قطر لوله‌های منی ساز، ضخامت اپی تیلیوم لوله‌های منی ساز، ضخامت بافت بیانیینی و ضخامت کپسول همبند در سه ناحیه مختلف به صورت تصادفی در گروههای مختلف اندازه گیری و باهم مقایسه گردید.

#### ارزیابی اسپرماتوژن بیضه

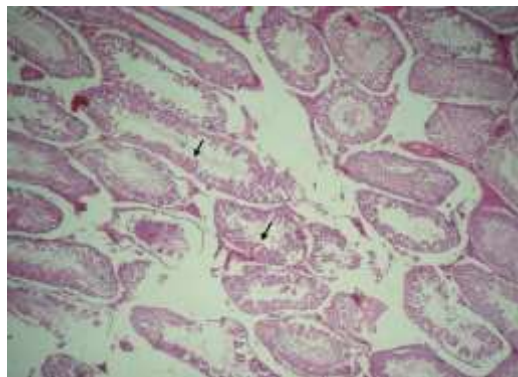
برای ارزیابی اسپرماتوژن در لوله‌های منی ساز از سه شاخص تمایز لوله‌ای، ضربی اسپرمیوژن و همچنین شاخص تجدیدپذیری استفاده گردید. برای محاسبه شاخص تمایز لوله منی ساز (T.D.I) که به اختصار (Tubular differentiation index) می‌شود درصد لوله‌های منی ساز که شامل سه و یا بیش از سه رده سلول‌های اسپرماتوژن تمایز یافته از سلول اسپرماتوگونی A باشد محاسبه گردید، که این سلول‌ها شامل اسپرماتوگونی بیانیینی، اسپرماتوگونی تیپ B، اسپرماتوسیت و اسپرماتید می‌باشد. این اندرس بیانگر حیات و تمایز سلولهای بنیادی لوله منی ساز یعنی اسپرماتوگونی A می‌باشد برای محاسبه (T.D.I) برای هر بیضه حداقل ۲۰۰ مقطع عرضی لوله‌های منی ساز مورد بررسی و شمارش قرار گرفت. برای محاسبه ضربی تجدید پذیری (Repopulation Index) که به اختصار (R.I) نامیده می‌شود، نسبت سلول‌های اسپرماتوگونی فعال به سلول‌های اسپرماتوگونی غیر فعال در لوله‌های منی ساز محاسبه گردید. برای این کار نیز بیش از دویست مقطع لوله‌های منی ساز شمارش گردید. برای محاسبه ضربی اسپرمیوژن (Spermiogenesis Index) که به اختصار (S.I) نامیده می‌شود، نسبت لوله‌های منی ساز که حاوی اسپرم بودند به لوله‌های فاقد



نگاره ۱- نمای ریزیبینی از بافت بیضه در گروه شاهد. لوله‌های منی ساز دارای قطر زیادی بوده (نشانگر)، اپیتیلیوم ضخیم بوده و رده‌های مختلف اسپرماتوژن مشاهده می‌شود. بافت بینایی به میزان کم دیده می‌شود. (درشت نمایی  $\times 100$ ، رنگ آمیزی هماتوکسیلین - ائوزین)

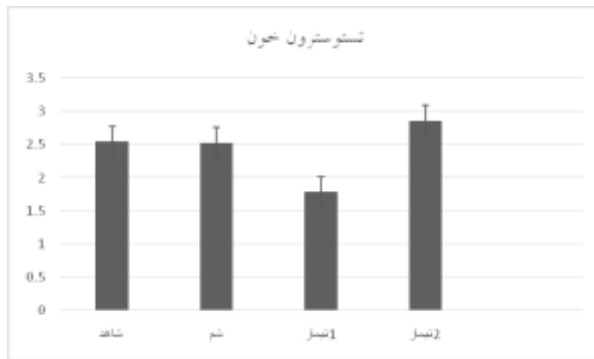


نگاره ۲- نمای ریزیبینی از بافت بیضه در گروه تیمار ۱. تحلیل بافت بیضه (نشانگر قرمز)، کاهش قطر لوله‌های منی ساز (نشانگر سیاه)، افزایش بافت بینایی مشاهده می‌شود، کاهش شدید سلولهای رده اسپرماتوژن دیده می‌شود. (درشت نمایی  $\times 100$ ، رنگ آمیزی هماتوکسیلین - ائوزین)



نگاره ۳- نمای ریزیبینی از بافت بیضه در گروه تیمار ۲. افزایش قطر لوله‌های منی ساز، کاهش بافت بینایی و ترمیم دیواره لوله‌های منی ساز مشاهده می‌شود (نشانگر). (درشت نمایی  $\times 100$ ، رنگ آمیزی هماتوکسیلین - ائوزین)

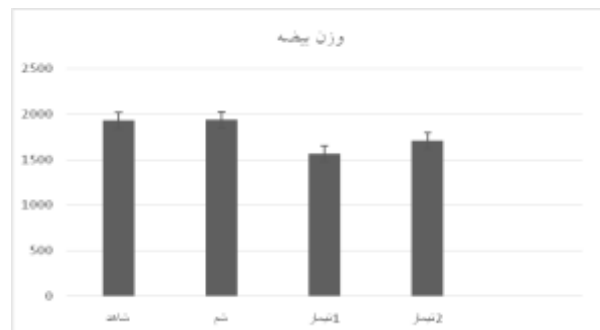
منفرد یا گروهی دیده شد. اپیتیلیوم زایگر در لوله‌های منی ساز ضخامت قابل توجهی داشته و سلولهای رده اسپرماتوژن در چند ردیف تشکیل شده بودند. سلولهای اسپرماتوگونی در قسمت قاعده‌ای لوله‌های منی ساز با هسته‌های کروی شکل و سیتوپلاسم محدود در پیرامون هسته قابل تشخیص بودند. این سلول‌ها به دو شکل فعال با هسته‌ی تیره و غیرفعال با هسته‌های روشن قابل تشخیص بودند. سلول‌های اسپرماتوسیت اولیه به صورت درشت با هسته‌های بزرگ با طرح کرماتین داخل هسته‌ای و سیتوپلاسم وسیع مشاهده گردید و سلولهای اسپرماتوسیت ثانویه و اسپرماتید با هسته‌های کوچک و گرد در اطراف حفره‌های میانی لوله‌های منی ساز قرار داشته و در گروه‌های نرمال تعداد این سلول‌ها زیاد بود. سلولهای اسپرماتوزوئید هم با هسته‌های کشیده و تازک مشخص گردند که هسته معمولاً به سمت قاعده‌ی لوله و تازک به سمت حفره‌ی لوله منی ساز بود. سلولهای سرتولی با هسته‌های روشن و هستک‌های واضح در بین سلولهای رده اسپرماتوژن دیده شدند (نگاره ۱). در مطالعه بافت‌شناسی بیضه در گروه تیمار ۱، کاهش قطر لوله‌های منی ساز و کاهش تعداد سلولهای اپیتیلیوم زایگر بسیار مشخص و مشهود بود. تعداد محدودی سلولهای رده اسپرماتوژن که عمدتاً سلولهای اسپرماتوگونی هستند در دیواره لوله‌های مشاهده گردیدند. تعداد سلولهای سرتولی تغییرات چندانی پیدا نکرده و پرخونی در رگ‌های خونی در سطح وسیعی در داخل بافت بیضه مشاهده شد. بافت بینایی توسعه بسیاری پیدا کرده و قطر لوله‌های منی ساز به طور چشمگیری کاهش پیدا کرده بود (نگاره ۲). در گروه تیمار ۲ که پس از اورکیدوپکسی جنسینگ دریافت کرده بودند روند ترمیم بافت بیضه سرعت بیشتری داشته، قطر لوله‌ها و ضخامت اپیتیلیوم لوله‌ها بیشتر شده که نشانگر روند بهبود ضایعات پاتولوژیک بیضه بود و تعداد سلولهای زیا در دیواره‌ی آن افزایش پیدا کرده بود (نگاره ۳).



نمودار ۲- میانگین میزان هورمون تستوسترون خون (نانوگرم در میلی لیتر) در گروههای مختلف مورد مطالعه

#### یافته‌های مطالعه‌ی وزن بیضه

بررسی میانگین وزن بیضه در گروههای مختلف نشان داد که وزن بیضه در گروه تیمار ۱،  $1569/70 \pm 16/26$  میلی گرم بود که در مقایسه با گروه شاهد ( $1930/30 \pm 9/80$ ) کاهش معنی‌داری را نشان داد ( $P < 0.01$ ). در گروه تیمار ۲ وزن بیضه  $1707/70 \pm 20/20$  میلی گرم بود که در مقایسه با گروه تیمار ۱، افزایش معنی‌داری داشت ( $P < 0.05$ ) و در مقایسه با گروه شاهد کاهش معنی‌داری را نشان داد ( $P < 0.05$ ). میانگین وزن بیضه در گروه شم  $1939/30 \pm 6/76$  میلی گرم بود که تفاوت معنی‌داری در مقایسه با گروه شاهد نداشت (نمودار ۱).



نمودار ۱- میانگین وزن بیضه (میلی گرم) در گروههای مختلف مورد مطالعه

#### یافته‌های هورمون تستوسترون خون

میزان هورمون تستوسترون خون در گروه تیمار ۱،  $179 \pm 0/08$  نانوگرم در میلی لیتر بود که در مقایسه با گروه شاهد ( $2/55 \pm 0/20$ ) کاهش معنی‌داری را نشان داد ( $P < 0.01$ ). در گروه تیمار ۲، میانگین هورمون تستوسترون خون  $2/86 \pm 0/43$  نانوگرم در میلی لیتر بود که در مقایسه با گروه شاهد و گروه تیمار ۱، افزایش معنی‌داری مشاهده گردید ( $P < 0.05$ ). میانگین هورمون تستوسترون خون در گروه شم،  $2/51 \pm 0/36$  نانوگرم در میلی لیتر بود که در مقایسه با گروه شاهد تفاوت معنی‌داری نداشت ( $P \geq 0.05$ ) (نمودار ۲).

**یافته‌های هیستومورفومتری بافت بیضه**

میانگین قطر لوله‌های منی‌ساز در گروه تیمار ۱،  $126/95 \pm 3/03$  میکرومتر بود که در مقایسه با گروه شاهد ( $272/54 \pm 3/61$ ) کاهش معنی‌داری را نشان داد ( $P < 0.001$ ). در گروه تیمار ۲، میانگین قطر لوله‌ها  $162/88 \pm 5/44$  میکرومتر بود که در مقایسه با گروه تیمار ۱، افزایش معنی‌داری داشت ( $P < 0.05$ ) و در مقایسه با گروه شاهد کاهش معنی‌داری را نشان داد ( $P < 0.01$ ). میانگین قطر لوله‌ها در گروه شم  $277/35 \pm 4/11$  میکرومتر بود که در مقایسه با گروه شاهد تفاوت معنی‌داری نشان نداد ( $P \geq 0.05$ ) مقایسه با گروه شاهد تفاوت معنی‌داری نداشت (نمودار ۱).

(جدول ۱). بررسی میانگین ضخامت اپیتیلیوم لوله‌های منی‌ساز در گروههای مختلف نشان داد که ضخامت اپیتیلیوم در گروه تیمار ۱،  $40/42 \pm 1/44$  میکرومتر بود که در مقایسه با گروه شاهد ( $10/725 \pm 2/47$ ) کاهش معنی‌داری را نشان داد ( $P < 0.001$ ). در گروه تیمار ۲، میانگین ضخامت اپیتیلیوم،  $62/29 \pm 2/43$  میکرومتر بود که در مقایسه با گروه تیمار ۱، افزایش معنی‌داری داشت ( $P < 0.05$ ) و در مقایسه با گروه شاهد کاهش معنی‌داری را نشان داد ( $P < 0.01$ ). ضخامت اپیتیلیوم در گروه شم،  $110/12 \pm 1/08$  میکرومتر بود که در مقایسه با گروه شاهد تفاوت معنی‌داری نداشت ( $P \geq 0.05$ ) (جدول ۱). بررسی میانگین ضخامت بافت بینایی‌نی در گروههای مختلف نشان داد که ضخامت بافت بینایی‌نی در گروه تیمار ۱،  $54/40 \pm 1/32$ ،  $15/90 \pm 0/72$  میکرومتر بود که در مقایسه با گروه شاهد

کپسول، ۵۱/۵۱±۳/۲۲ میکرومتر بود که در مقایسه با گروه تیمار ۱، تفاوت معنی داری را نشان نداد ( $P=0.652$ ). ولی در مقایسه با گروه شاهد افزایش معنی داری را نشان داد ( $P<0.05$ ). میانگین ضخامت کپسول در گروه تیمار ۳، ۵۱/۶۷±۳/۱۹ میکرومتر بود که در مقایسه با گروه شاهد، افزایش معنی دار ( $P<0.05$ ) را نشان داد. در مقایسه ضخامت کپسول بین گروه های تیمار ۱ و ۲ تفاوت معنی داری مشاهده نگردید  $34/93\pm1/88$ . ضخامت کپسول در گروه شم،  $34/93\pm1/88$  میکرومتر بود که در مقایسه با گروه شاهد تفاوت معنی داری نداشت ( $P\geq0.05$ ) (جدول ۱).

افزایش معنی داری را نشان داد ( $P<0.001$ ). در گروه تیمار ۲، میانگین ضخامت بافت بینایی،  $37/95\pm2/07$  میکرومتر بود که در مقایسه با گروه تیمار ۱، کاهش معنی دار ( $P<0.05$ ) و در مقایسه با گروه شاهد افزایش معنی داری را نشان داد ( $P<0.01$ ). ضخامت بافت بینایی در گروه شم،  $13/34\pm0/83$  میکرومتر بود که در مقایسه با گروه شاهد تفاوت معنی داری نداشت ( $P\geq0.05$ ) (جدول ۱). بررسی میانگین ضخامت کپسول همبندی بیضه در گروه های مختلف نشان داد که ضخامت کپسول در گروه تیمار ۱،  $53/22\pm2/63$  میکرومتر بود که در مقایسه با گروه شاهد  $36/70\pm1/45$  افزایش معنی داری را نشان داد ( $P<0.01$ ). در گروه تیمار ۲، میانگین ضخامت

جدول ۱- مقایسه میانگین شاخص های هیستومورفومتری بیضه در گروه های مورد مطالعه (mean ± SEM)

گروه	قطر لوله های منی ساز (میکرومتر)	ضخامت اپتیلیوم لوله منی ساز (میکرومتر)	ضخامت بافت بینایی (میکرومتر)	ضخامت کپسول بیضه (میکرومتر)
شاهد	$272/54\pm3/61^a$	$106/25\pm2/47^a$	$15/90\pm0/72^a$	$36/70\pm1/45^a$
شم	$277/35\pm4/11^a$	$110/12\pm1/08^a$	$13/34\pm0/83^a$	$34/93\pm1/88^a$
تیمار ۱	$126/95\pm3/03^b$	$40/42\pm1/44^b$	$54/40\pm1/32^b$	$53/22\pm2/63^b$
تیمار ۲	$162/88\pm5/44^c$	$62/29\pm2/43^c$	$37/95\pm2/07^c$	$51/51\pm3/22^b$

a, b, c, d حروف غیر همنام در هر ستون نشان دهنده تفاوت معنی دار است ( $P<0.05$ ).

ضریب تجدیدپذیری (R.I): در مطالعه ضریب تجدیدپذیری در گروه های مختلف مشخص گردید که در گروه تیمار ۱ ضریب تجدیدپذیری،  $20/30\pm1/34$  درصد بود که در مقایسه با گروه شاهد ( $90/60\pm0/47$ ) کاهش معنی داری را نشان داد ( $P<0.001$ ). در گروه تیمار ۲، میانگین ضریب تجدیدپذیری،  $39/70\pm1/63$  درصد بود که در مقایسه با گروه تیمار ۱، افزایش معنی دار ( $P<0.01$ ) و در مقایسه با گروه شاهد کاهش معنی داری مشاهده گردید ( $P<0.001$ ) میانگین ضریب تجدیدپذیری در گروه شم،  $88/42\pm2/62$  درصد بود که در مقایسه با گروه شاهد تفاوت معنی داری نداشت ( $P\geq0.05$ ). (جدول ۲).

#### یافته های اسپرماتوژن زیبضه

ضریب تمایز لوله ای (T.D.I): در مطالعه ضریب تمایز لوله ای در گروه های مختلف مشخص گردید که در گروه تیمار ۱، ضریب تمایز لوله ای،  $14/80\pm1/20$  درصد بود که در مقایسه با گروه شاهد ( $93/80\pm0/46$ ) کاهش معنی داری را نشان داد ( $P<0.001$ ). در گروه تیمار ۲، میانگین ضریب تمایز لوله ای،  $45/10\pm1/41$  درصد بود که در مقایسه با گروه تیمار ۱، افزایش معنی دار ( $P<0.01$ ) و در مقایسه با گروه شاهد کاهش معنی داری مشاهده گردید ( $P<0.001$ ) میانگین ضریب تمایز لوله ای در گروه شم،  $95/53\pm1/75$  درصد بود که در مقایسه با گروه شاهد تفاوت معنی داری نداشت ( $P\geq0.05$ ) (جدول ۲).

معنی داری مشاهده گردید ( $P<0.001$ ). ولی در مقایسه با گروه تیمار ۱، تفاوت معنی داری مشاهده نگردید ( $P=0.291$ ). میانگین ضریب اسپرمیوزن در گروه شم،  $86/79\pm2/05$  درصد بود که در مقایسه با گروه شاهد تفاوت معنی داری نداشت ( $P\geq0.05$ ) (جدول ۲).

ضریب اسپرمیوزن (S.I): در مطالعه ضریب اسپرمیوزن در گروه های مختلف مشخص گردید که در گروه تیمار ۱ ضریب اسپرمیوزن،  $35/50\pm1/38$  درصد بود که در مقایسه با گروه شاهد ( $85/70\pm1/20$ ) کاهش معنی داری را نشان داد ( $P<0.001$ ). در گروه تیمار ۲، میانگین ضریب اسپرمیوزن،  $38/20\pm1/66$  درصد بود که در مقایسه با گروه شاهد کاهش

جدول ۲- مقایسه میانگین ضرایب اسپرماتوژن در گروه های مورد مطالعه (mean  $\pm$  SEM)

گروه	ضریب تمایز لوله ای (درصد)	ضریب تجدید پذیری (درصد)	ضریب اسپرمیوزن (درصد)
شاهد	$93/80\pm0/46^a$	$90/60\pm0/47^a$	$85/70\pm1/20^a$
شم	$95/53\pm1/75^a$	$88/42\pm2/62^a$	$86/79\pm2/05^a$
تیمار ۱	$b1/20\pm24/80$	$20/30\pm1/34^b$	$35/50\pm1/38^b$
تیمار ۲	$45/10\pm1/41^c$	$39/70\pm1/33^c$	$38/20\pm1/66^b$

a, b, c, d حروف غیر همنام در هر ستون نشان دهنده تفاوت معنی دار است ( $P<0.05$ ).

متعاقب کریپتورکیدیسم به دنبال قرار گرفتن بیضه ها در درجه حرارت بالاتر در ناحیه سوپرا اسکروتال می باشد، بطوریکه در یک روش تحقیقی در (داخل بدن) سرد کردن بیضه ها در محوطه بطنی در سگ و خوک منجر به اسپرماتوژن طبیعی گردید (۲۰). یکی از مکانیسم های احتمالی تأثیر کریپتورکیدیسم روی سلول های بافت بیضه به واسطه تغییر در پروتئین هایی موسوم به پروتئین استرس حرارتی در این سلول ها می باشد. در انواع گونه های سلولی hsp در تحت شرایط طبیعی وجود دارد اما میزان آن تحت شرایط استرس حرارتی به طور مشخصی افزایش می یابد (۵). مطالعات صورت گرفته در سال های اخیر، وجود مرگ برنامه ریزی سلولی یا آپوپتوز را در سلول های زیای بافت بیضه پس از قرار گرفتن در درجه حرارت بالا در محوطه بطنی را مشخص کرده است (۲۵ و ۱). با افزایش حرارت در بافت بیضه به دنبال کریپتورکیدیسم میزان پراکسیداسیون چربی

## بحث

کریپتورکیدیسم یکی از علل ناباروری در انسان و بسیاری از گونه های حیوانی است. در ۳-۸ درصد مردان نابارور و در ۲۰ درصد مردان با کاهش شدید اسپرم (ازواسپرمی)، فاکتور ایجادکننده، کریپتورکیدیسم بوده است (۱۳). مطالعات فراوانی در مورد اثرات کریپتورکیدیسم روی بافت بیضه به خصوصی روی سلول های رده اسپرماتوژن چه در افرادی که دچار این عارضه بوده و چه پس از ایجاد تجربی آن به روش جراحی در انسان و حیوانات مختلف صورت گرفته است (۲۱ و ۲۰، ۲۱). مطالعات فراوانی نیز پس از ایجاد کریپتورکیدیسم تجربی در حیوانات آزمایشگاهی نظری موش صحرائی (۷)، موش سوری (۱۹) و همستر طلائی (۲۶) صورت گرفته که همگی نشانگر اختلالات پیش رونده در بافت بیضه و روند اسپرماتوژن متناسب با افزایش مدت زمان پس از جراحی بوده است. اختلال در روند اسپرماتوژن

می باشد (۳). کشف ساپونین به عنوان ماده فعال، منجر به روشن شدن خواص دارویی جنسینگ شد. ترکیبات فنلی نسبت به ساپونین، مسئولیت بیشتری نسبت به اثر آنتی اکسیدانی دارد (۱۷). تیمار به وسیله جنسینگ از اختلالات بیضوی از طریق کاهش تولید پراکسیداز و سوپراکسید NAPDH جلوگیری می کند (۱۰). محققین در گزارش خود از جنسینگ به فعالیت آنتی اکسیدانی آن در هر دو محیط آبی و لیپیدی به وسیله شلاته کردن یون های فلزی و بیگانه خواری رادیکال های آزاد اشاره کردند (۲۳). در تحقیق حاضر مشخص گردید مصرف جنسینگ در موش های صحرایی که تحت جراحی اورکیدوپکسی قرار گرفته بودند باعث بهبود سریعتر شاخص های هیستومورفومتری و شاخص های اسپرماتوزنز و تسریع روند ترمیم بافت بیضه در مقایسه با گروهی که پس از اورکیدوپکسی سالین نرمال دریافت کرده بودند، گردید. طوری که قطر لوله های منی ساز، ضخامت اپیتیلوم لوله ها و ضرایب تمایز لوله ای و تجدیدپذیری در گروه تیمار ۲ در مقایسه با گروه تیمار ۱ افزایش معنی داری را نشان داد ( $P<0.05$ ). همچنین نتایج بیانگر افزایش معنی دار میزان هورمون تستوسترون در گروه دریافت کننده جنسینگ بود ( $P<0.05$ ) که با نتایج تحقیقات سایر محققین تطابق دارد. Kim و همکارانش در سال ۲۰۱۰ بر اثرات جنسینگ روی پیچ خوردگی بیضه مطالعه کردند و متوجه افزایش میزان تستوسترون بعد از مصرف جنسینگ شدند (۱۴). Hwang و همکارانش در سال ۲۰۱۰ بهبود عملکرد بافت بیضه متعاقب مصرف جنسینگ را مورد بررسی قرار دادند که مشخص شد جنسینگ میزان تستوسترون و عملکرد بافت بیضه را نسبت به گروه مسن افزایش می دهد (۹). در یک بررسی، اثرات آنتی اکسیدانی جنسینگ روی بافت بیضه در موش های صحرایی که تحت درمان با chlorpyrifos بودند، انجام شد که نتایج نشان داد مصرف توام جنسینگ و chlorpyrifos میزان تستوسترون و تعداد اسپرم را در مقایسه با Hye-min مصرف به تنها یک chlorpyrifos افزایش می دهد (۶).

در سلول های زایا افزایش می باید و علاوه بر آن فعالیت آنزیم های آنتی اکسیدان نیز دچار اختلال می شود (۱۱). بررسی های انجام شده نشان می دهد که مصرف آنتی اکسیدان هایی نظیر ویتامین E و ویتامین C موجب کاهش آسیب های بافت بیضه و کاهش سلول های آپوپتویک در کریپتورکیدیسم تجربی می گردد (۲۲). در یک بررسی انجام شده توسط محققین مشخص گردید که مصرف ویتامین C در خرگوش های بالغ کریپتورکید، موجب کاهش تعداد سلول های آپوپتویک در لوله های سمتینیفر می شود (۱۵ و ۲). در یک تحقیق نشان دادند که مصرف مهارکننده های گزانتین اکسیدازها مانند آلوپورینول موجب کاهش سلول های زایای آپوپتویک که در اثر ایجاد کریپتورکیدیسم تجربی در موش صحرایی های نابلغ به وجود آمده اند، می شود (۱۵). Saalu و همکاران (۲۰۰۷) نشان دادند که مصرف ویتامین E، پس از ایجاد کریپتورکیدیسم تجربی دو طرفه در موش های صحرایی، موجب کاهش اثرات سوء کریپتورکیدیسم بر بافت بیضه در گروه های تحت درمان می شود (۲۲). Babaei و همکاران (۲۰۱۰) نشان دادند که مصرف سولفات روی به عنوان یک آنتی اکسیدان، اثرات مخبر نهان بیضگی یک طرفه را در موش های صحرایی نر بهبود می بخشد (۴). به دنبال اصلاح کریپتورکیدیسم که تحت عنوان جراحی اورکیوپکسی یا اورکیدوپکسی نامیده می شود، آثار مخبر کریپتورکیدیسم بر بافت بیضه به مرور ترمیم می گردد. در یک مطالعه ایجاد کریپتورکیدیسم در موش های صحرایی نابلغ موجب اختلال در ساختار بافتی و عملکرد سلول های سرتولی و مهار هورمون ABP گردید که ۸۰ روز پس از جراحی اورکیدوپکسی ترمیم آسیب های بافتی مشاهده شد. بدینهی است میزان آسیب های وارد به بافت بیضه در کریپتورکیدیسم و ترمیم آن به دنبال اورکیدوپکسی به طول دوره کریپتورکیدیسم بستگی دارد (۱۲). مصرف برخی از داروها ممکن است در بهبود سریع تر بافت های آسیب دیده موثر باشد. جنسینگ حاوی ترکیبات فنلی، پلی استیلن، آلکالوئیدها و پلی ساکاریدها

5. Danno, S., Itoh, K., Matsuda, T. (2000). Decreased expression of mouse Rbm3, a cold – shock Protein, in sertoli cells of cryptorchid testis. Am. J. Pathol. 156(5):1685-1692.
6. Diab, A., Abd El-Aziz, A, Hendawy, A. , Zahra, M., Hamza, R. (2012): Antioxidant role of both propolis and ginseng against neurotoxicity of chlorpyrifos and profenofos in male rats. Life Sci. J. 9(3):987-1008.
7. Hall, R., Gomes, W.R. (1975). The effect of artificial cryptorchidism on serum oestrogen and testosterone levels in the adult male rat. Acta Endocrinol. , 80:583-591.
8. Hosseini, A., Zare, S., Ghaderi Pakdel, F., Ahmadi, A. (2010): Effects of Vitamin E and Ginseng Extract on Fertility Changes Induced by Cyclophosphamide in Rats. J. Reprod. Infertil. 11(4):227-237.
9. Hwang, S., Sohn, S.H., Wee, J., Yang, J.B., Kyung, J.S., Kwak, Y., Kim, S.W., Kim, S. (2010): Panax ginseng improves senile testicular function in rats. J. Ginseng Res. 34(4): 327-335.
10. Hye-Min, P., Shang-Jin, K., Hyeon-Kyu, G., Gi-Beum, S. K., Jin-Shang, K., Hyung-Sub, K. (2011): Korean red ginseng prevents ethanol-induced hepatotoxicity in isolated perfused rat liver. Korean J .Vet. Res. 51(2):159-164.
11. Ikeda, M., Kodama, H., Fududa, J. (1999): Role of radical oxygen species in the rat testicular germ cell apoptosis induced by heat stress. Biol. Reprod. 61:393-399.
12. Jegou, B., Peake, R., Irby, D., Kretser, D. (1984): Effects of the induction of experimental cryptorchidism and subsequent orchidopexy on testicular function in immature rats. Biol . Reprod. 30(1):179-187.
13. Kaki, T., Sofikitis, N. (1999): Effects of unilateral cryptorchidism on contralateral sperm quality quantity and fertilizing capacity. Yanago Acta Medica. 42:79-86.
14. Kim ,Y. , Kim, G., Shin, J., Kim, K., Lim, J. (2010): Effect of korean red ginseng on testicular tissue injury after torsion and detorsion. Korean. J. Urol. 51:794-799.

و همکاران در سال ۲۰۱۱ بر عملکرد جنسینگ بر سمیت کبدی ناشی از اتانول در کبد موش صحرایی کار کردند و به این نتیجه رسیدند که جنسینگ خاصیت آنتی آپوپتوزیک، در برابر اثرات آملیورات اتانول بر کبد را دارد (۱۰). Hosseini و همکاران (۲۰۱۰) مشخص نمودند که تعداد اسپرم در مصرف سیکلوسفامید توانم با جنسینگ افزایش می‌یابد (۸). نتایج این مطالعه نشان داد که جنسینگ باعث بهبود سریعتر بافت بیضه پس از جراحی اصلاح کریپتورکیدیسم در موش‌های صحرایی می‌شود.

## تشکر و سپاسگزاری

این مقاله از طرح تحقیقاتی که با بودجه پژوهشی و حمایت مالی دانشگاه آزاد اسلامی واحد تبریز به انجام رسیده است، استخراج شده است. بدینوسیله از معاونت پژوهش و فن آوری دانشگاه آزاد اسلامی واحد تبریز تشکر و قدردانی می‌گردد.

## فهرست منابع

۱. صفوی، س.ا.. خیاط نوری، م، شهروز، ر. (۱۳۸۷): مطالعه آپوپتوز در بافت بیضه متعاقب ایجاد نهان بیضگی تجربی یکطرفه در موش صحرایی بالغ. فصلنامه علمی - پژوهشی فیض، ۱۲(۳):۳۹-۴۳.
2. AL-Asadi, F. (2011): Effect of Vitamin C on Apoptotic Germ Cells of Cryptorchid testis in Rabbits. Bas. J. Vet. Res. 10(1):67-81.
3. Attele, A.S., Wu, J.A., Yuan, C.S. (1999): Ginseng pharmacology: multiple constituents and multiple actions. Biochem. Pharmacol. 58:1685-1693.
4. Babaei, H., Azari, O., Kheirandish, R., Abshenas, J. Mohammadi, N. (2010). Zinc Therapy Improves various Effects of Experimental Unilateral Cryptorchidism: Histopathological Evaluation of Testes, Iran. J. Vet. Surg. 5(12):77-88.

15. Kumagai, A., Kodama, H., Kumagai, J., Fukuda, J., Kawamura, K., Tanikawa, H., Sato, N., Tanaka, T. (2002): Xanthine oxidase inhibitors suppress testicular germ cell apoptosis induced by experimental cryptorchidism. *Mol. Hum. Reprod.* 8(2):118-123.
16. Liamara, R., Luis, A., Fabio, F. (2005): Sperm retrieval techniques in rats with suppressed spermatogenesis by experimental cryptorchidism. *Hum. Reprod.* 20(2):443-447.
17. Liao, B., Newmark, H., Zhou, R. (2002): Neuroprotective effects of ginseng total saponin and ginsenosides Rb1 and Rg1 on spinal cord neurons in Vitro. *Exp. Neurol.* 173(2):224-234.
18. Meistrich, M., Wilson, G., Porter, K. (2003): Restoration of spermatogenesis in DBCP – treated rats by hormone suppression. *Toxicol. SSci.* 76(2):418-426.
19. Mendis, S., Kerr, J. (1990): Experimental cryptorchidism in the adult mouse: qualitative and quantitative light microscopic morphology. *J. Androl.* 11(6):539-547.
20. Pinart, E., Sancho, S., Briz, M. (1999): Morphologic study of the testis from spontaneous unilateral and bilateral abdominal cryptorchid boars. *J. Morphol.* 239(3):225- 243.
21. Ren, L., Medan, M., Ozu, M. (2006): Effects of experimental cryptorchidism on sperm motility and testicular endocrinology in adult male rats. *J. Reprod. Develop.* 52(2): 219-228.
22. Saalu, L., Oluyemi, K., Omotuyi, I. (2007): a-Tocopherol (vitamin E) attenuates the testicular toxicity associated with experimental cryptorchidism in rat. *Afr. J. Biotechnol.* 6(12):1373-1377.
23. Saleh, A.S. (2012): Effects of taurine and/or ginseng and their mixture on lipid profile and some parameters indicative of myocardial status in streptozotocin-diabetic rats. *J. Basic. Appl. Zool.* 65:267-273.
24. Shetty, G., Wilson, G., Huhtanieme, I. (2000): Gonadotropin-Releasing Hormone analogs stimulated and testosterone inhibits the recovery of spermatogenesis in irradiated rats. *Endocrinology.* 141:1735-1745.
25. Shidone, T., Billing, H. (1994). Experimentally induced cryptorchidism increases apoptosis in rat testis. *Biol. Reprod.* 51:866-872.
26. Vigodner, M., lewin, L. (2003): Evaluation of damage to the testicular cells of golden hamsters caused by experimental cryptorchidism using flow cytometry and confocal microscopy. *Int. J. Androl.* 26(2): 84-90.